

04

## Диффузионный положительный столб электрического разряда в поперечном магнитном поле

© Д.К. Ульянов, К.Н. Ульянов

Всероссийский электротехнический институт им. В.И. Ленина, Москва  
E-mail: kulyanov@vei.ru

В окончательной редакции 8 сентября 2010 г.

Изучено влияние поперечного магнитного поля на характеристики плоского диффузионного положительного столба. Показано, что при увеличении индукции магнитного поля распределения концентрации плазмы и потоков частиц на стенки становятся несимметричными, максимум концентрации смещается в сторону действия силы Ампера, потока ионов в направлении силы может существенно превышать поток ионов в обратном направлении. Определены зависимости параметров разряда от значения индукции. Показано, что существует максимальное значение индукции, ограничивающее сверху область магнитных полей, в которых возможно стационарное состояние положительного столба. В разрешенной для стационарного состояния области одному значению индукции соответствуют два различных режима положительного столба, отличающихся значениями энергии электронов, скорости дрейфа и напряженности электрического поля.

В поперечном магнитном поле положительный столб (ПС) свободно горящего электрического разряда изгибается в направлении действия силы Ампера. Плазма выносится из области канала разряда, а поступающий в область разряда нейтральный газ ионизуется. Такой разряд в поперечном магнитном поле применяется для создания потоков плазмы. В [1] исследовался свободно горящий разряд в поперечном магнитном поле при средних давлениях. Установлено, что стационарная форма разряда существует только в ограниченной области магнитных полей  $B < B_{\max}$ . При  $B > B_{\max}$  разряд переходит в установившуюся нестационарную форму. Напряжение на разряде пульсирует с частотой, равной обратному времени пролета плазмой разрядного промежутка; плазма из разряда вылетает сгустками. Ускорение плазмы в поперечном магнитном поле ускорителя с замкнутым током Холла [2] при

$B > B_{\max}$  также происходит в нестационарном режиме с пульсирующим напряжением и пульсирующим выбросом плазмы. В обоих случаях достоверно не установлен механизм, переводящий стационарную форму разряда в нестационарную. Поэтому изучение электрических разрядов в поперечных магнитных полях по-прежнему остается актуальным. В настоящей работе будут теоретически изучены свойства ограниченного изолированными стенками ПС в поперечном магнитном поле. Будет показано, что стационарная форма такого ПС существует только при  $B < B_{\max}$ . Определено значение  $B_{\max}$ , и установлена причина перехода разряда в нестационарную форму.

Рассмотрим ограниченный изолированными стенками плоский положительный столб в поперечном магнитном поле. Будем считать, что электроны и ионы движутся в столкновительном режиме. Для описания их движения применим систему уравнения гидродинамики. В стационарном случае плотность тока на изолированную стенку равна нулю, поэтому в любом поперечном сечении плазмы столба скорости электронов и ионов равны. Ток Холла в направлении действия силы Ампера отсутствует. Будем рассматривать частично ионизованную плазму с невысокой степенью ионизации, в которой плотность атомов можно считать не зависящей от координаты. Распределения концентрации плазмы и потоков заряженных частиц можно найти из системы уравнений неразрывности и движения для электронов и ионов, которая (проекция на ось  $x$ ) имеет вид

$$\frac{dnV}{dx} = nv_{ion}, \quad (1)$$

$$-enE - \frac{dp_e}{dx} - nmV(v_{ea} + v_{ion}) - \frac{1}{c} enV_{ez}B_y = 0, \quad (2)$$

$$enE - \frac{dp_i}{dx} - nMV(v_{ia} + v_{ion}) + \frac{1}{c} enV_{iz}B_y = 0. \quad (3)$$

Здесь  $m$ ,  $M$  — массы электрона и атома,  $v_{ion}$ ,  $v_{ia}$ ,  $v_{ea}$  — частоты ионизации, ион-атомных и электрон-атомных столкновений,  $n_e = n_i = n$ ,  $V_{ex} = V_{ix} = V$ ,  $V_{iz} - V_{ez} = V_z$ ,  $B_y$  — магнитное поле,  $j_z = enV_z$ ,  $j_z B_y = F_a$  — сила Ампера, действующая на ток в поперечном направлении. В (2) пренебрегли (как это принято) инерцией электронов. В диффузионном приближении в уравнении (3) пренебрегли инерцией ионов.

Сложим (2) и (3) для исключения электрического поля  $E$ . Имеем

$$-k(T_e + T_i) \frac{dn}{dx} - nV[M(v_{ia} + v_{ion}) + m(v_{ea} + v_{ion})] + \frac{1}{c} enV_z B_y = 0. \quad (4)$$

Вторым слагаемым в квадратных скобках можно пренебречь. Продифференцируем (4) и используем (1) для исключения производной от плотности потока. Получим:

$$-D_a \frac{d^2 n}{dx^2} + \frac{eV_z B_y}{Mc(v_{ia} + v_{ion})} \frac{dn}{dx} = nv_{ion}, \quad D_a = \frac{k(T_e + T_i)}{M(v_{ia} + v_{ion})}. \quad (5)$$

Учет магнитной силы приводит к появлению в уравнении диффузии дополнительного члена, пропорционального первой производной. Запишем (5) в безразмерных  $n = n^* \tilde{n}$ ,  $x = L\tilde{x}$  переменных в виде (индекс  $\sim$  в дальнейшем будем опускать)

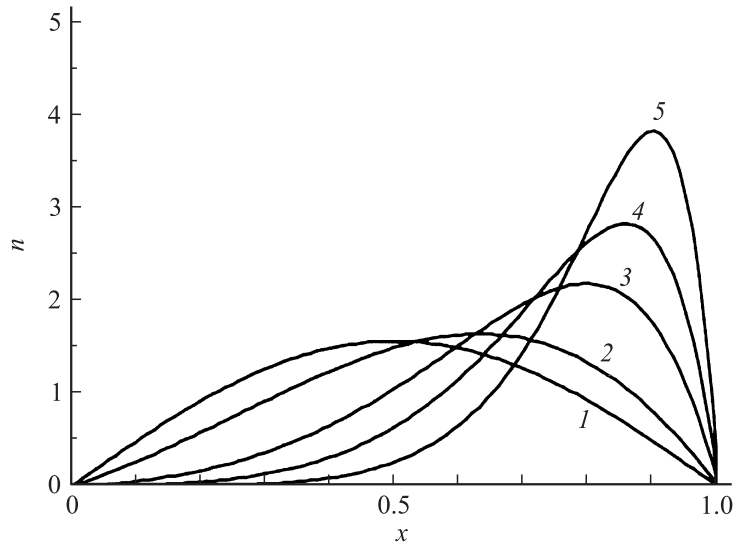
$$\frac{d^2 n}{dx^2} + a \frac{dn}{dx} + bn = 0, \quad a = -\frac{eV_z B_y L}{ck(T_e + T_i)}, \quad b = \frac{v_{ion} L^2}{D_a}. \quad (6)$$

В уравнении (6) коэффициент  $a$  при первой производной отрицательный. Для нашей задачи пригодно решение с комплексными корнями характеристического уравнения. Имеем

$$n = e^{-\frac{1}{2}ax} (C_1 \cos \beta x + C_2 \sin \beta x), \quad \beta = \sqrt{b - \left(\frac{a}{2}\right)^2}. \quad (7)$$

Для ПС в диффузионном приближении с достаточной точностью можно использовать граничные условия  $n(0) = n(1) = 0$ . В этом случае  $C_1 = 0$ ,  $\beta = \pi$ . В нашей задаче  $a < 0$ , поэтому экспоненциальный множитель в [6] увеличивается с ростом  $x$ , распределение концентрации становится несимметричным, максимум концентрации при увеличении магнитной силы смещается от центра по направлению действия силы. Положение максимума  $x_{\max}$  определяется соотношением  $2p \operatorname{ctg} px_{\max} = a$ . Значение параметра  $a$  ограничено сверху значением  $a^* = 2\sqrt{b}$ . В дальнейшем будем измерять значения  $a$  в долях  $a^*$ , используя соотношение  $a = \xi a^* = \xi 2\sqrt{b}$ , где  $\xi < 1$ . Нормируем решение (6). Имеем

$$n(x) = \frac{f^2 + \pi^2}{\pi(e^f + 1)} e^{fx} \sin \pi x, \quad \int_0^1 n(x) dx = 1, \quad f = \frac{\pi \xi}{\sqrt{1 - \xi^2}}. \quad (8)$$



**Рис. 1.** Зависимость  $n(x)$  для различных значений параметра  $\xi$ : 1 — 0, 2 — 0.4, 3 — 0.8, 4 — 0.9, 5 — 0.95.

На рис. 1 представлены распределения  $n(x)$  для нескольких значений  $\xi$ . Отметим, что с ростом  $\xi$  увеличивается и смещается вправо значение  $n_{\max}$ . Полученное из граничных условий выражение  $\beta = \pi$  вместе с соотношением  $a = \xi a^*$  позволяет выразить параметры  $a$  и  $b$  через фактор  $\xi$ :

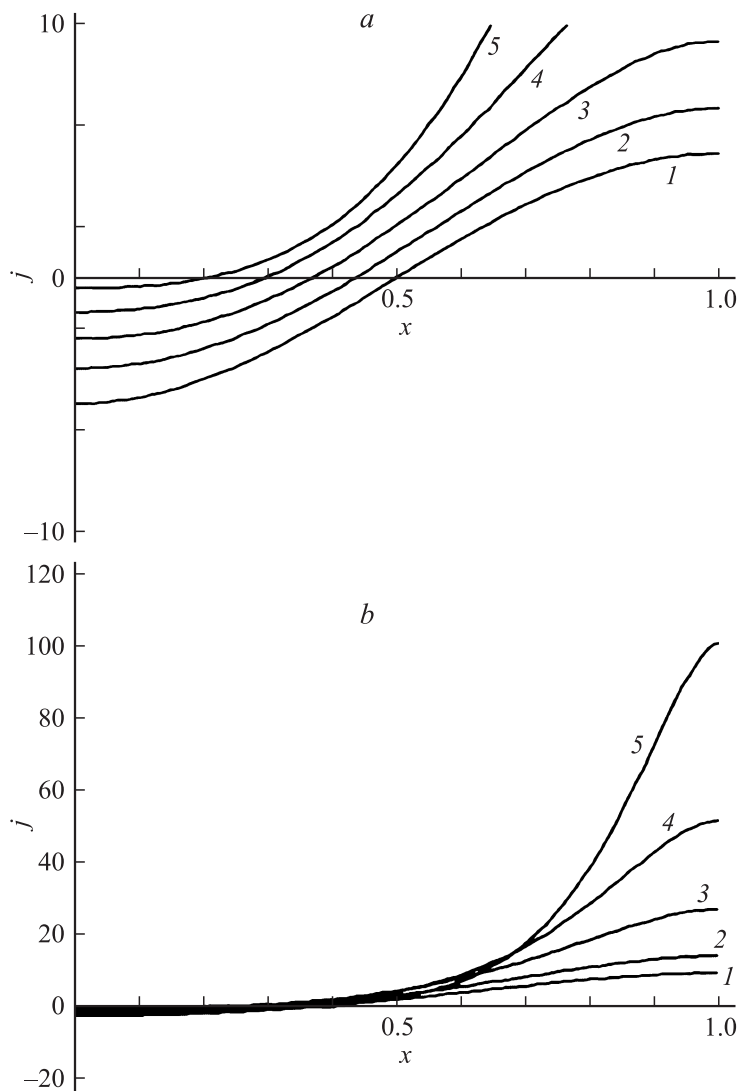
$$a = -\frac{2\pi\xi}{\sqrt{1-\xi^2}}, \quad b = \frac{\pi^2}{1-\xi^2}. \quad (9)$$

Найдем распределения плотностей потоков ионов и электронов из уравнения [4].

Скорость потока нормируем на характерную диффузионную скорость  $V^* = D_a L^{-1}$ . Используя (4), (8) и (9) для потока  $j = nV$ , получим

$$j = \frac{f^2 + \pi^2}{\pi(e^f + 1)} e^{fx} (f \sin \pi x - \pi \cos \pi x).$$

Потоки направлены в разные стороны относительно точки  $x_0$ , в которой  $V(x_0) = 0$ . Значение  $x_0$  определяется соотношением  $\operatorname{tg} \pi x_0 = \pi f^{-1}$ . При  $\xi = 0$  функция  $f = 0$ ,  $\operatorname{tg} \pi x_0 = \infty$ ,  $x_0 = 0.5$ , распределение потоков симметрично. При наличии магнитного поля с



**Рис. 2.** Зависимость плотности потока  $j(x)$  для различных значений параметра  $\xi$ :  $a$  — 1 — 0, 2 — 0.2, 3 — 0.4, 4 — 0.6, 5 — 0.8;  $b$  — 1 — 0.4, 2 — 0.6, 3 — 0.8, 4 — 0.9, 5 — 0.95.

ростом  $\xi$  распределения становятся несимметричными, точка  $x_0$  смещается влево по оси  $x$ , при  $\xi \rightarrow 1$  значение  $x_0 \rightarrow 0$ . Распределения потоков для разных  $\xi$  представлены на рис. 2. Отношение потоков  $\kappa$  на правой  $j(1)$  и левой  $j(0)$  границах промежутка  $\kappa = -\exp(f)$ . При увеличении  $\xi$  поток на левую границу уменьшается, а поток на правую границу увеличивается. Асимметрия потоков при  $f > 1$  весьма велика. Приведенные на рис. 1 и 2 распределения концентраций и плотностей потоков соответствуют разным токам. Эти распределения можно привести к одному значению тока, если их умножить на фактор  $\delta = V_z(\varepsilon_0)/V_z(\varepsilon)$ , где  $\varepsilon_0$  — значение  $\varepsilon$  при  $B_y = 0$ .

Определим значение  $B_y$ . Используя (6) и (9), получим

$$B_y = \frac{2\pi ck(T_e + T_i)}{eV_z L} \frac{\xi}{\sqrt{1 - \xi^2}}, \quad (10)$$

$$\frac{v_{ion} L^2 M(v_{ia} + v_{ion})}{k(T_e + T_i)} = \frac{\pi^2}{1 - \xi^2}. \quad (11)$$

Левая часть (11) пропорциональна  $(n_0 L)^2$ , где  $n_0$  — плотность газа. Значение энергии электронов  $\varepsilon = 3/2kT_e + mV_z^2/2$  увеличивается при уменьшении  $n_0 L$ . Левая часть (11) при увеличении  $\varepsilon$  проходит через максимум при  $\varepsilon = \varepsilon_{\max}$ . При  $\varepsilon < \varepsilon_{\max}$  с ростом  $\varepsilon$  левая часть (11) увеличивается за счет экспоненциального роста частоты ионизации. При  $\varepsilon > \varepsilon_{\max}$ , когда сечение ионизации уменьшается как  $\varepsilon^{-1}$ , левая часть (11) уменьшается как  $\varepsilon^{-2}$ . Магнитное поле  $B_y$  при  $\varepsilon < \varepsilon_{\max}$  увеличивается с ростом  $\varepsilon$ . При  $\varepsilon \gg \varepsilon_{\max}$  скорость дрейфа пропорциональна  $\varepsilon^{1/2}$  [3],  $B_y$  пропорционально  $\xi \varepsilon^{-1/2}$ . В этом диапазоне  $\varepsilon$  индукция магнитного поля  $B_y$  уменьшается как за счет роста  $\varepsilon$ , так и за счет уменьшения  $\xi$ . Таким образом, существует значение  $B_{\max}$ , ограничивающее сверху диапазон магнитных полей, в котором имеет место стационарный ПС. Из выражений (10) и (11) можно определить зависимость  $B_y(\varepsilon)$ . В ПС с поперечным магнитным полем на электроны в направлении  $z$  действует магнитная сила  $F_z(x) = (e/c)V(x)B_y$ , которая может повлиять на величину скорости дрейфа  $V_z$ . Этой силой можно пренебречь, если  $V(x)\omega\tau_e \ll V_z$ , где  $\omega\tau_e$  — параметр Холла. Максимальное значение скорости  $V(x)$  ограничено сверху скоростью ионного звука. Значение параметра Холла может быть определено по результатам расчетов зависимости  $B_y(\varepsilon)$  с учетом известных из [3,4] зависимостей  $v_{ea}(\varepsilon)$  и  $v_{ion}(\varepsilon)$ . Оказалось, что при  $B \leq B_{\max}$  значение

$\omega\tau_e \leq 1$ , а отношение  $V(x)\omega\tau_e/V_z \ll 1$ . Поэтому можно считать, что  $V_z$  не зависит от координаты  $x$ . Таким образом, в нашем случае зависимости  $V_z(E/p)$  и  $\varepsilon(E/p)$  такие же, как и в разряде без поперечного магнитного поля. Из эксперимента и результатов численного моделирования для различных газов известны зависимости  $\varepsilon(E/p)$ ,  $V_z(E/p)$  и частоты ионизации  $\nu_{ion} = \alpha p V_z(E/p)$ , где  $\alpha$  — коэффициент Таундсенда. Поэтому можно определить зависимости  $V_z(\varepsilon)$  и  $\nu_{ion}(\varepsilon)$  для выбранного газа. Эти зависимости следует использовать в формулах (10) и (11). Таким способом можно определить для конкретного газа при заданных значениях  $n_0$  и  $L$  зависимость  $B_y(\varepsilon)$ .

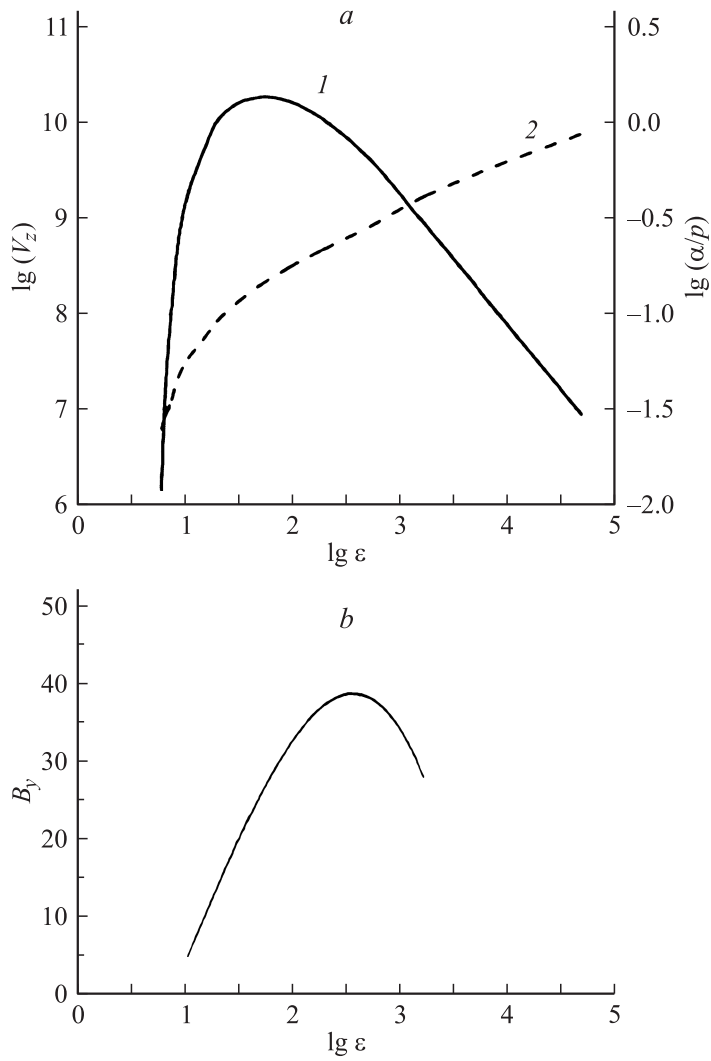
В качестве примера выполним расчет зависимости  $B_y(\varepsilon)$  для гелия. Отметим, что для ПС в поперечном магнитном поле не выполняются законы подобия. В то время как в (11) входит произведение  $n_0L$ , в (10) входит только величина  $L$ . Этот факт связан с видом уравнения (5), которое содержит как вторую, так и первую производные. Поэтому при проведении расчетов необходимо задавать независимо  $n_0$  и  $L$ . Методика расчета следующая. Определяем минимальное значение  $\varepsilon_{min}$  при  $\xi = 0$  из (11). Задаемся значениями  $\varepsilon$  больше  $\varepsilon_{min}$  и из (11) определяем зависимость  $\xi(\varepsilon)$ . Значение  $V_z(\varepsilon)$  известно из эксперимента и расчетов. Обе эти функции используем в [10] для определения зависимости  $B_y(\varepsilon)$ . Зависимости  $V_z$  и  $\alpha/p$  от  $\varepsilon$  взяты из работ [3,4] (рис. 3, а). Результаты расчетов  $B_y$  для гелия при  $n_0 = 3 \cdot 10^{15} \text{ cm}^{-3}$ ,  $L = 4 \text{ cm}$  приведены на рис. 3, б. Обратим внимание на тот факт (рис. 3, б), что одному значению  $B_y$  соответствуют два набора значений  $\varepsilon$  и  $V_z$ , причем большие значения относятся к области кривой  $B_y(\varepsilon)$ , на которой производная отрицательна.

При выводе уравнения (8) предполагалось, что  $n(0) = n(1) = 0$ . Определим эти значения. Величина объемного заряда  $\rho$  в плазме находится из уравнения Пуассона  $\text{div}\mathbf{E} = 4\pi\rho$ . Для определения  $n(0)$  и  $n(1)$  на границе плазмы и слоя (при  $x = 0$  и  $x = 1$ ) полагается, что  $\rho(0) = en(0)$ ,  $\rho(1) = en(1)$  [5]. Продифференцируем по  $x$  уравнение (2). Имеем

$$n_{1,2} = \left(\frac{l_D}{L}\right)^{2/3} \left( \left( \frac{dn}{dx} \right)^2 \Big|_{1,2} + n_b \frac{d^2n}{dx^2} \Big|_{1,2} \right)^{1/3},$$

$$l_D^2 = \frac{kT_e}{4\pi e^2 n^*}, \quad n^*(\varepsilon) = \delta n^*(\varepsilon_0). \quad (12)$$

Здесь  $n_{1,2}$  — концентрация на левой и правой границах плазмы, производные также вычисляются на границах. Полученные выше аналити-



**Рис. 3.** *a* — зависимость для гелия от  $\epsilon$  [eV]: 1 — скорости дрейфа  $V_z$  [cm/s], 2 —  $\alpha/p$  [(Torr · cm) $^{-1}$ ]; *b* — зависимость  $B_y$  [mT] для гелия при  $n_0 = 3 \cdot 10^{15} \text{ cm}^{-3}$ ,  $L = 4 \text{ cm}$ .

ческие решения для  $n(x)$  позволяют определить значения производных. Имеем

$$\begin{aligned} n'(0) &= \frac{f^2 + \pi^2}{e^f + 1}, & n''(0) &= n'(0)2f, \\ n'(1) &= -n'(0)e^f, & n''(1) &= n'(1)2f. \end{aligned}$$

Для определения  $n_{1,2}$  необходимо задать значение тока на единицу длины по оси  $y$ , которое определит  $n^*$  для данного  $\varepsilon$ . Например, при  $n^* = 10^{13} \text{ см}^{-3}$ ,  $L = 4 \text{ см}$ ,  $kT_e = 10 \text{ эВ}$  значение  $(l_D/L)^{2/3} = 6 \cdot 10^{-3}$ . При  $\xi = 0$  значения  $n(0) = n(1) = 0.017$ ; при  $\xi = 0.5$   $n(0) = 9 \cdot 10^{-3}$ ,  $n(1) = 3 \cdot 10^{-2}$ ; при  $\xi = 0.9$   $n(0) = 2 \cdot 10^{-3}$ ,  $n(1) = 8 \cdot 10^{-2}$ . Значение  $n(0)$  уменьшается с ростом  $\xi$ , а значение  $n(1)$  — увеличивается, однако отношение  $n(1)/n_{\max}$  всегда много меньше единицы, поэтому аналитические решения, полученные с нулевыми граничными условиями, вполне корректны.

В заключение отметим, что с помощью поперечного магнитного поля и выбора параметров внешней цепи можно в широком диапазоне (от единиц до сотен эВ) изменять энергию электронов. Этот результат может оказаться полезным для получения излучения с различным спектральным составом, а также для повышения эффективности плазмохимических реакций. В работе показано, что стационарное состояние ПС с изолированными стенками возможно только при  $B \leq B_{\max}$ . Этот существенный факт связан с невозможностью обеспечить при  $B > B_{\max}$  необходимый для существования стационарного ПС уровень ионизации из-за ограниченности сечения ионизации и формы его зависимости от энергии. По этой же причине, по-видимому, невозможно обеспечить при  $B > B_{\max}$  стационарный режим работы ускорителей плазмы с поперечным магнитным полем.

## Список литературы

- [1] Баранов В.Ю., Ульянов К.Н. // ТВТ. 1968. Т. 6. № 1. С. 23–29.
- [2] Горшков О.А., Муравлев В.А., Шагайда А.А. Холловские и ионные плазменные двигатели для космических аппаратов. М.: Машиностроение, 2008. Гл. 3. С. 88.
- [3] Ульянов К.Н. // ТВТ. 2008. Т. 46. № 4. С. 382–390.
- [4] Ткачев А.Н., Яковленко С.И. // Письма в ЖЭТФ. 2003. Т. 77. В. 5. С. 264–269.
- [5] Рожанский В.А., Цендин Л.Д. Столкновительный перенос в частично ионизованной плазме. М.: Энергоатомиздат, 1988. Гл. 2. С. 45.